

гл. процессом взаимодействия  $\gamma$ -лучей с рабочим веществом детектора является образование пар.

**Сцинтилляционный Г.-с.** представляет собой комбинацию *фотоэлектронного умножителя* (ФЭУ) и *сцинтиллятора*, в к-ром под действием электронов, создаваемых  $\gamma$ -лучами, образуется кратковрем. вспышка света — сцинтилляция, преобразуемая в ФЭУ в электрич. сигнал; амплитуда сигнала импульса пропорциональна энергии электрона (см. *Сцинтилляционный детектор*). *Амплитудный анализатор* позволяет получить амплитудный спектр импульсов. Для спектрометрии  $\gamma$ -квантов с энергией до неск. МэВ чаще всего применяются сцинтилляторы из NaI, активированного Tl. Это вещество отличается достаточно большой плотностью (3,67 г/см<sup>3</sup>) и сравнительно высоким ср. ат. номером, что обеспечивает высокую эффективность

дырочные пары. С помощью приложенного электрич. поля электроны и дырки выводятся из обеднённой области. Возникающий в результате этого электрич. импульс усиливается и регистрируется амплитудным анализатором. При этом амплитуда импульса, пропорциональная энергии электрона и энергии  $\gamma$ -кванта, определяется по пику полного поглощения (см. *Полупроводниковый детектор*).

Поскольку на образование одной пары носителей заряда требуется, по крайней мере, в 100 раз меньше энергии (2,8 эВ в кристалле Ge), чем затрачивается в сцинтилляц. счётчике на получение одного фотоэлектрона с фотокатода ФЭУ, то разрешающая способность полупроводникового Г.-с. оказывается гораздо более высокой, чем у сцинтилляц. Г.-с. Для спектрометрии  $\gamma$ -квантов с энергией порядка неск. МэВ в осн. применяются работающие при темп-ре жидкого азота германиевые детекторы двух типов: детекторы, в к-рых обеднённая область создана внедрением ионов Li в кристалл Ge с проводимостью *p*-типа, и детекторы из сверхчистого Ge. Полупроводниковые Г.-с. дают возможность получить  $\Delta E \approx 1,7-2$  кэВ при  $E = 1,33$  МэВ. В области малых энергий  $\gamma$ -квантов применяются небольшие по объёму детекторы из сверхчистого Ge и Ge, в к-ром обеднённая область создана предварительным интенсивным  $\gamma$ -облучением (т. н. ради ац. детекторы), а также детекторы из Si с внедрённым Li. При энергиях  $\gamma$ -квантов  $\sim 6$  кэВ в таких Г.-с. достигнуты ширины линий  $\Delta E \sim 150-200$  эВ, а при  $E \sim 60$  кэВ  $\Delta E \sim 350-400$  эВ.

По эффективности полупроводниковые Г.-с. значительно уступают сцинтилляционным с кристаллами NaI (Tl). Германиевые детекторы объёмом  $\sim 30$  см<sup>3</sup> имеют эффективность регистрации  $\gamma$ -квантов с энергией 1,33 МэВ, определённую по площади пика полного поглощения, порядка 2-3% (рис. 2). Большой

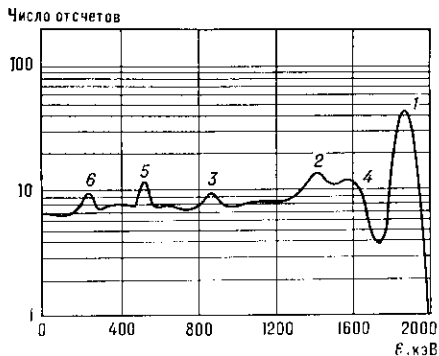


Рис. 1. Амплитудный спектр импульсов от сцинтилляционного гамма-спектрометра с кристаллом NaI(Tl) диаметром и высотой  $\sim 76$  мм, облучаемого  $\gamma$ -квантами с энергией 1,92 МэВ.

регистрации  $\gamma$ -квантов. Разрешающая способность сцинтилляц. Г.-с.  $\Delta E/E \sim 4-5\%$  при  $E \approx 1,3$  МэВ и изменяется с энергией приблизительно как  $E^{-1/2}$ .

В спектре, полученном с помощью сцинтилляц. Г.-с., можно видеть т. н. пик полного поглощения (рис. 1). В него дают вклады все процессы, в результате к-рых энергия  $\gamma$ -кванта целиком поглощается в кристалле: фотоэлектрич. поглощение, к-рому сопутствует поглощение испущенных рентг. квантов (см. *Фотоэффект*); образование пар, сопровождающееся поглощением обоих  $\gamma$ -квантов, возникающих при аннигиляции пары позитрон-электрон; комптоновское рассеяние с поглощением рассеянного кванта (см. *Комптона эффект*). Во всех этих случаях должны поглощаться также все рентг. кванты, связанные со всеми процессами фотоэлектрич. поглощения. Энергия, соответствующая пику полного поглощения, и есть энергия  $\gamma$ -кванта.

В спектре видны также пики, соответствующие процессам образования пар в сцинтилляторе, сопровождающимся вылетом из него одного (2) или двух (3) аннигиляц.  $\gamma$ -квантов. Комптоновское рассеяние  $\gamma$ -лучей в сцинтилляторе приводит к возникновению сложного спектра, заканчивающегося со стороны высоких энергий характерным уступом (4), соответствующим верх. границе энергетич. распределения комптоновских электронов. Пики 5 и 6 связаны с аннигиляц. квантами и излучением, рассеянным окружающими предметами. Иногда в сцинтилляц. Г.-с. можно увидеть т. н. п и к и в ы л е т а, соответствующие фотоэлектронам и одновременно вылету из кристалла рентг. квантов *K*-серии, следующих за фотопоглощением  $\gamma$ -квантов. Соотношение интенсивностей всех перечисленных пиков зависит от энергии  $\gamma$ -квантов, а также от размеров и формы сцинтиллятора.

**Полупроводниковый Г.-с.** Всё сказанное выше о форме спектра импульсов сцинтилляц. Г.-с. относится и к др. видам Г.-с., среди к-рых важную роль играют полупроводниковые Г.-с. В монокристалле *полупроводника* создаётся область, обеднённая осн. носителями заряда. Под действием электронов, образуемых  $\gamma$ -квантами, в этой области возникают электроно-

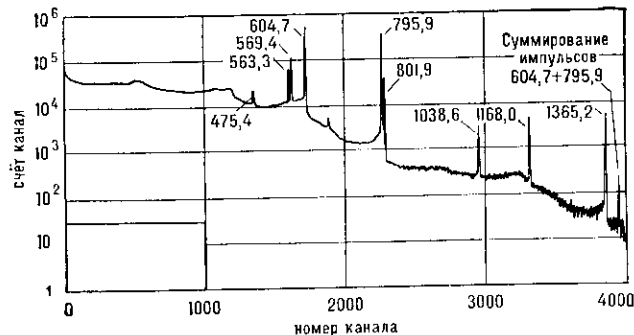


Рис. 2. Амплитудный спектр импульсов от полупроводникового  $\gamma$ -спектрометра с коаксиальным Ge(Li)-детектором (рабочий объём 38 см<sup>3</sup>), облучаемого  $\gamma$ -квантами радионуклида <sup>137</sup>Cs. По оси ординат — число отсчетов на канал анализатора; цифры над пиками указывают энергии  $\gamma$ -квантов в кэВ.

объём кристалла даёт большую эффективность (существуют германиевые детекторы с рабочим объёмом 100-120 см<sup>3</sup> и более).

**Другие Г.-с. для малых энергий  $\gamma$ -квантов.** В области энергий  $\gamma$ -квантов  $E \sim 100$  кэВ иногда применяются газовые *пропорциональные счётчики*, наполненные Ag или Kг. По разрешающей способности они уступают полупроводниковым Г.-с., но существенно превосходят сцинтилляц. Г.-с.

Магн. Г.-с., основанные на измерении энергии комптоновских электронов или электроно-позитронных пар, создаваемых  $\gamma$ -квантами в тонком радиаторе, играющие важную роль в прошлом, применяются редко, их вытесняют полупроводниковые Г.-с., не уступающие им по разрешающей способности, но значительно превосходящие их по эффективности. Однако магнитные спектрометры сохранили своё значение в качестве спектрометров электронов внутри конверсии